

49

ИНСТИТУТ ЯДЕРНОЙ ФИЗИКИ СО АН СССР



Е.М. Сыресин

**ВЛИЯНИЕ ОСЦИЛЛИРУЮЩИХ ЭЛЕКТРОНОВ
НА РАБОТУ ДИОДА ПРИ ИНЖЕКЦИИ РЭП
В СИЛЬНУЮ МАГНИТНУЮ ПРОБКУ**

ПРЕПРИНТ 86-88



НОВОСИБИРСК
1986

ВЛИЯНИЕ ОСЦИЛЛИРУЮЩИХ ЭЛЕКТРОНОВ НА РАБОТУ ДИОДА
ПРИ ИНЪЕКЦИИ РЭП В СИЛЬНУЮ МАГНИТНУЮ ПРОБКУ

Е.М.Сыресин

А Н Н О Т А Ц И Я

Рассмотрены особенности работы диода при инъекции РЭП в сильную магнитную пробку. Показано, что в этом случае в магнитной камере возникает облако осциллирующих электронов с плотностью, в несколько раз превосходящей плотность исходного пучка. Исследовано влияние толщины и материала анодной фольги на работу диода. Проведено сравнение расчетов с экспериментальными результатами.

I. Введение

Электронные пучки с плотностью тока $1-10 \text{ кА/см}^2$ с энергозапасом в десятки и сотни килоджоулей эффективно могут быть использованы для нагрева плазмы в открытых ловушках /1-2/. Для получения необходимой плотности тока генерируемые в диоде пучки приходится затем сжимать в адиабатическом магнитном поле /3/. Схема магнитной компрессии пучка показана на рис.1. Пучок электронов генерируется в диоде, помещенном в продольное магнитное поле. Сжатие пучка осуществляется в магнитном поле пробочной конфигурации.

При инъекции пучка в магнитную камеру часть электронов отражается от магнитной пробки и начинает осциллировать между пробкой и катодом, постепенно рассеиваясь и поглощаясь в анодной фольге. Как было отмечено в работах /4-5/, осциллирующие электроны существенным образом влияют на работу диода. Их появление в биполярном диоде приводит к росту плотности пучка, в электронном - к запираанию диода. В настоящей работе приводятся результаты расчета величины диодного тока при наличии облака осциллирующих электронов, возникающего при инъекции пучка в магнитную камеру. Результаты экспериментов по инъекции РЭП в сильную магнитную пробку приведены в работе /6/.

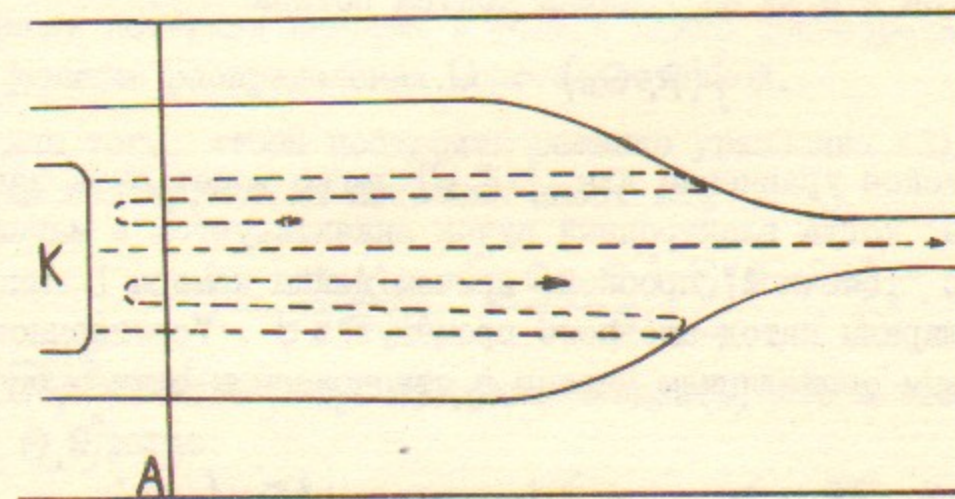


Рис.1. Схема магнитной компрессии пучка.
K - катод, A - анодная фольга, стрелки иллюстрируют характер движения электронов.

II. Кинетическое уравнение облака осциллирующих электронов

При инжекции пучка в магнитную пробку при определенных условиях возникает облако релятивистских осциллирующих электронов с плотностью, в несколько раз превосходящей плотность исходного электронного пучка. Накопление электронов в таком облаке в существенной мере определяется их взаимодействием с анодной фольгой. В случае тонкой фольги это взаимодействие можно характеризовать величинами $\overline{\theta^2}$ и δW , представляющим собой средний квадрат угла рассеяния и среднюю потерю энергии при одном прохождении через фольгу по нормали к ее поверхности. Плотность электронов в облаке существенно зависит и от пробочного отношения R . В работе рассматривается случай, когда

$$\overline{\theta^2} \ll \theta_R^2 \equiv R^{-1} \ll 1. \quad (I)$$

Состояние облака осциллирующих электронов полностью характеризуется функцией распределения на анодной фольге f . Эта функция зависит от импульса P и угла θ между импульсом частицы и осью системы: $f = f(P, \theta)$. Для электронного облака, плотность которого значительно превышает плотность исходного пучка, функция распределения при выполнении условия (I) обращается в нуль на границе конуса потерь

$$f(P, \theta_R) = 0. \quad (2)$$

Кинетическое уравнение для $f(P, \theta)$ легко может быть записано в случае, когда электронный пучок инжектируется в магнитную камеру с "точечной" пробкой, причем длина камеры L много больше ширины катод-анодного промежутка d . Усредненное по продольным осцилляциям частиц в стационарном случае оно имеет вид

$$\frac{v \overline{\theta^2}}{4 \sin \theta} \frac{\partial}{\partial \theta} \sin \theta \frac{\partial f}{\partial \theta} + \frac{1}{P^2} \frac{\partial}{\partial P} P^2 \delta W f + j = 0. \quad (3)$$

Источник j описывает рост частиц вследствие инжекции пучка:

$$j = \frac{n_b v_b F(\theta) \delta(P - P_b)}{2\pi P^2}, \quad (4)$$

n_b - плотность электронов инжектируемого пучка, P_b и v_b импульс и скорость инжектируемого электрона на анодной фольге, соответствующие ускоряющему напряжению U . Множитель $F(\theta)$ учитывает начальное угловое распределение электронов пучка, усредненное по продольным осцилляциям частиц. Применительно к тонкой фольге $\overline{\theta^2}$ и δW следующим образом связаны с характеристиками фольги

$$\begin{aligned} \overline{\theta^2}(P) &= \frac{4\pi \ell N_0 Z^2 e^4 \Lambda_1}{P^2 v^2} \\ \delta W &= \frac{2\pi \ell N_0 Z e^4 \Lambda_2}{m v^2}, \end{aligned} \quad (5)$$

где P и v импульс и скорость электрона, N_0 - число атомов в единице объема фольги, Z - атомный номер материала фольги, ℓ - толщина фольги, Λ_1 и Λ_2 известные логарифмические множители. Для фольг, изготовленных из материала с большим $Z \gg 1$ скорость углового рассеяния в $\frac{Z}{\gamma} \frac{\Lambda_1}{\Lambda_2}$ раз больше скорости потерь в фольге. В этом случае при описании кинетического уравнения потерями энергии в фольге можно пренебречь и считать функцию распределения моноэнергетичной.

Для того, чтобы построить решение уравнения (3), решим сначала задачу, когда источник имеет вид

$$j = \frac{n_b v_b}{2\pi P^2} \frac{\delta(\theta - \theta') \delta(P - P_b)}{\sin \theta}, \quad (6)$$

где $(\overline{\theta^2})^{1/2} \ll \theta' - \theta_R \ll \theta_R$. Нетрудно показать, что в этом случае $f(P, \theta, \theta')$ равно:

$$f(P, \theta, \theta') = \frac{n_b v_b}{2\pi P^2} \delta(P - P_b) \begin{cases} \ln \frac{\theta}{\theta_R} & \theta < \theta' \\ \ln \frac{\theta'}{\theta_R} & \theta > \theta' \end{cases} \quad (7)$$

По существу, полученное решение является функцией Грина для уравнения (3). Поэтому решение (3) с источником (4) имеет вид

$$f(p, \theta) = \int_{\theta_R}^{\pi - \theta_R} F(\theta') f(p, \theta, \theta') \sin \theta' d\theta'. \quad (8)$$

Угловое распределение электронов пучка $F(\theta)$ в зависимости от числа осцилляций частиц K определяется следующим соотношением:

$$F(\theta) \equiv F(\theta, K) = \int_{\theta_R}^{\pi/2} F(\theta_1, K-1) \frac{e^{-\frac{(\theta-\theta_1)^2}{2\bar{\theta}^2}}}{\sqrt{2\bar{\theta}^2\pi}} \sin \theta_1 d\theta_1. \quad (9)$$

Множитель $\frac{e^{-\frac{(\theta-\theta_1)^2}{2\bar{\theta}^2}}}{\sqrt{2\bar{\theta}^2\pi}}$ учитывает угловое уширение пучка при двухкратном прохождении электронами через анодную фольгу. Начальное угловое распределение электронов пучка, захваченных в магнитную камеру, имеет вид

$$F(\theta, 0) = \begin{cases} \frac{2 \exp(-\theta^2/\bar{\theta}^2)}{\bar{\theta}^2} & \theta > \theta_R, \\ 0 & \theta < \theta_R. \end{cases} \quad (10)$$

Подставив источник (9) в уравнение (8), нетрудно показать, что при $K = 2+8$ функция распределения (8) не зависит от числа осцилляций частиц K и с точностью до 5%+7% равна

$$f(p, \theta) = \begin{cases} \frac{n_b v_b R}{\pi p^2} \frac{\exp(-1/R\bar{\theta}^2)}{(R\bar{\theta}^2)^{1/2}} \delta(p-p_b) & \theta > \theta_R, \\ 0 & \theta < \theta_R. \end{cases} \quad (11)$$

Знание функции распределения позволяет найти плотность облака осциллирующих электронов в точке с потенциалом :

$$n(\psi) = 2\pi \int f(p(\theta', p'), \theta(p', \theta')) \sin \theta' d\theta' p'^2 dp', \quad (12)$$

где p' и θ' импульс иpitch-угол электрона в точке с потенциалом ψ , обладающего импульсом p и углом θ на фольге:

$$(p'^2 + m^2 c^2)^{1/2} - \frac{e\psi}{c} = (p^2 + m^2 c^2)^{1/2} - \frac{eU}{c}, \quad (13)$$

$$p' \sin \theta' = p \sin \theta.$$

Подставляя в (12) функцию распределения (11) и выполняя интегрирование, получаем

$$n(\psi) = 4 \frac{n_b R}{(R\bar{\theta}^2)^{1/2}} e^{-\frac{1}{R\bar{\theta}^2}} \left\{ \frac{1+(\gamma-1)\Psi}{\gamma(\gamma^2-1)^{1/2}} \left[[1+(\gamma-1)\Psi]^2 - \frac{\gamma^2-1}{R} \right]^{1/2} \right\} \quad (14)$$

где $\gamma = 1 + \frac{eU}{mc^2}$, $\Psi = \frac{\psi}{U}$. Плотность электронного пучка, входящая в (11)-(14) может быть найдена из решения уравнения Пуассона в диоде. Для нерелятивистского диода $\gamma-1 \ll 1$ при $S = \left(\frac{\bar{\theta}^2}{R}\right)^{1/2} \exp[1/R\bar{\theta}^2] \leq 0,1$ и $R \gg 1$ она вычисляется аналитически

$$\frac{n_b}{n_{b0}} = 6,75 S (1 - 0,78 S^{1/4})^2, \quad (15)$$

где n_{b0} - плотность пучка, определяемая по "закону $\frac{3}{2}$ ".

III. Учет потерь энергии в фольге

Для того чтобы построить решение уравнения (3) с учетом потерь энергии в фольге, найдем сначала функцию Грина этого уравнения. Вместо импульса p введем независимую переменную ξ , однозначно связанную с p соотношением

$$\xi = \int_p^{p_b} \frac{\bar{\theta}^2 v dp}{4 \delta W} = \frac{\bar{\theta}^2 (p_b) p_b^2}{8 m \delta W} \ln \frac{(\gamma(p)-1)(\gamma(p_b)+1)}{(\gamma(p)+1)(\gamma(p_b)-1)},$$

где релятивистский фактор $\gamma = (1 + p^2/m^2 c^2)^{1/2}$. Выполнив замену переменных, уравнение (3) перепишем в виде

$$\frac{\partial g}{\partial \xi} = \frac{1}{\sin \theta} \frac{\partial}{\partial \theta} \sin \theta \frac{\partial g}{\partial \theta}, \quad (16)$$

$$g|_{\xi=0} = \frac{n_b v_b}{2\pi} \frac{\delta(\theta-\theta')}{\sin \theta},$$

$$g|_{\theta=\theta_R} = 0, \quad g(\theta) = g(\pi-\theta),$$

где $g = \delta W p^2 f$.

Решение уравнения (16) может быть получено с помощью разложения в ряд по ортогональной системе собственных функций $g_n(\theta, \lambda_n)$ оператора Лежандра:

$$g(\xi, \theta) = \sum_{n=1}^{\infty} \frac{n_b V_b}{2\pi} A_n e^{-\lambda_n \xi} g_n, \quad (17)$$

где

$$\frac{1}{\sin \theta} \frac{\partial \sin \theta}{\partial \theta} \frac{\partial g_n}{\partial \theta} + \lambda_n g_n = 0, \\ g_n(\theta_R) = 0, \quad g_n(\theta) = g_n(\pi - \theta).$$

Коэффициенты разложения A_n определяются из начальных условий и, соответственно, равны

$$A_n = \frac{g_n(\theta')}{\int_{\theta_R}^{\pi - \theta_R} g_n^2 \sin \theta d\theta}. \quad (18)$$

Функции g_n могут быть представлены в виде ряда /7-8/:

$$g_n = 1 + \sum_{l=1}^{\infty} a_l(m_n) \mu^{2l}, \quad (19) \\ a_l(m_n) = \prod_{k=0}^{l-1} \frac{(2k - m_n)(2k + m_n + 1)}{2(k+1)(2k+1)}, \\ m_n(m_n + 1) = \lambda_n,$$

где $\mu = \cos \theta$. Собственное значение λ_n находится из условия $g_n(\lambda_n, \theta_R) = 0$. Зависимость λ_n от R приведена в /7-8/. Знание g_n и λ_n позволяет построить решение кинетического уравнения (3) с источником (6). Необходимо только отметить, что поскольку источник частиц узкий, то при построении функции распределения требуется удерживать большое количество членов ряда (17).

При малых θ решение уравнения (3) может быть получено с помощью преобразования Вебера /9/

$$g(\theta, \theta', \xi) = \frac{n_b V_b}{\pi^2} \frac{(\theta' - \theta_R)}{\theta_R \xi} \int_0^{\infty} \frac{\Psi_0 e^{-\lambda^2}}{J_0^2(\frac{\lambda \theta_R}{\sqrt{\xi}}) + Y_0^2(\frac{\lambda \theta_R}{\sqrt{\xi}})} \lambda d\lambda, \quad (20)$$

где $\Psi_0 = J_0(\frac{\lambda \theta_R}{\sqrt{\xi}}) Y_0(\frac{\lambda \theta}{\sqrt{\xi}}) - J_0(\frac{\lambda \theta}{\sqrt{\xi}}) Y_0(\frac{\lambda \theta_R}{\sqrt{\xi}})$, J_0 и Y_0

функции Бесселя, соответственно, первого и второго рода. При $\xi \ll \theta_R^2$ $g(\theta, \theta', \xi)$ равно

$$g(\theta, \theta', \xi) = \frac{n_b V_b}{\pi^2} \frac{(\theta' - \theta_R)}{4\theta_R \xi} \frac{(\theta - \theta_R)}{\theta_R} e^{-\frac{(\theta - \theta_R)^2}{4\xi}} \left(\frac{\theta_R}{\theta}\right)^{1/2} \quad (21)$$

в обратном предельном случае $\xi \gg \theta^2$ $g(\theta, \theta', \xi)$ имеет вид

$$g(\theta, \theta', \xi) = \frac{n_b V_b}{\pi^2} \frac{(\theta' - \theta_R)}{\theta_R \xi} \frac{\ln(\theta/\theta_R)}{\ln^2(4\xi/\theta_R^2 \gamma_1^2)}, \quad (22)$$

где γ_1 - постоянная Эйлера, $\ln \gamma_1 = 0,55$.

Для удобства численных расчетов в дальнейшем $g(\theta, \theta', \xi)$, задаваемую формулой (17), аппроксимирует более простым выражением (20). При $R \gg 1$ оно с высокой точностью совпадает с (19) при малых θ и с точностью $\sim 25\%$ аппроксимирует решение кинетического уравнения при $\theta \sim 1$. Таким образом, выражение (20) может быть использовано в качестве приближенного решения уравнения (3) с источником (6).

Полученные результаты легко могут быть обобщены при нахождении решения кинетического уравнения с источником (4). Для этого воспользуемся соотношением (8). Подставив в (8) функцию Грина (20) и источник (4), угловая часть которого определяется из решения уравнений (9)-(10), находим функцию распределения осциллирующих электронов

$$f(p, \theta) = \frac{n_b V_b}{2\pi^2 p^2 \delta W} \frac{(R\theta^2)^{1/2}}{\xi} e^{-\frac{1}{R\theta^2}} \int_0^{\infty} \frac{e^{-\lambda^2} \Psi_0 \lambda d\lambda}{J_0^2(\frac{\lambda \theta_R}{\sqrt{\xi}}) + Y_0^2(\frac{\lambda \theta_R}{\sqrt{\xi}})}. \quad (23)$$

Знание $f(p, \theta)$ позволяет найти плотность облака осциллирующих электронов с точностью до постоянного множителя N_b в зависимости от потенциала Ψ . Множитель N_b может быть определен из решения уравнения Пуассона в диоде. Для электронного диода уравнение Пуассона имеет вид

$$\frac{d^2 \Psi}{dx^2} = \frac{4\pi e}{V} [n_b(\Psi) + n(\Psi)], \quad (24) \\ \frac{d\Psi}{dx} \Big|_{x=0} = 0, \quad \Psi \Big|_{x=0} = 0, \quad \Psi \Big|_{x=d} = 1,$$

где

$$n_b(\psi) = n_b \frac{\sqrt{\gamma+1}}{\gamma} \frac{1 + (\gamma-1)\psi}{\sqrt{2\psi + (\gamma-1)\psi^2}}. \quad (25)$$

В биполярном режиме работы диода оно может быть представлено следующим образом

$$\frac{d^2\psi}{dx^2} = \frac{4\pi e}{V} \left[n_b(\psi) + n(\psi) - \frac{n_i}{\sqrt{1-\psi}} \right], \quad (26)$$

$$\frac{d\psi}{dx} \Big|_{x=0} = 0, \quad \psi \Big|_{x=0} = 0, \quad \frac{d\psi}{dx} \Big|_{x=d} = 0, \quad \psi \Big|_{x=d} = 1.$$

Уравнение (26) отличается от уравнения (24) наличием в правой части дополнительного слагаемого, описывающего вклад плотности ионов, соответственно, появляется еще одно граничное условие $\frac{d\psi}{dx} \Big|_{x=d} = 0$, обозначающее бесконечную эмиссионную способность анода. Интегрируя уравнения (24) и (26), аналогично тому, как это делается при выводе "закона 3/2" находим плотность диодного тока $J_b = en_b V_b$, соответственно, для электронного и биполярного диодов. Зависимости J_b/J_{b0} и J_b/J_{bi} от толщины и материала фольги приведены на рис.2 и 3, здесь J_{b0} и J_{bi} - плотности тока электронного пучка, определяемые по "релятивистскому закону 3/2" для электронного и биполярного диодов /10/. Как видно из рис.2 и 3, наличие облака осциллирующих электронов в электронном диоде приводит к запираанию диодного тока, в биполярном - к росту плотности пучка. Для фольг толщиной больше некоторой критической биполярный диод переходит к режим "коллапса импеданса" /5/ и уже не имеет стационарного решения.

Эксперименты по инжекции электронного пучка в магнитную пробку с $R = 20$ описаны в работе /6/. В этих экспериментах пучок характеризовался следующими параметрами: энергия электронов $eU = 0,8$ МэВ, ток $I = 40$ кА. Сжатие пучка осуществлялось в магнитном поле пробочной конфигурации, нарастающим от 0,5 Тл в диоде ускорителя до 10 Тл в пробке. На рис.4 приведены импульсы напряжения при инжекции пучка через фольгу толщиной 30 мкм. в магнитную камеру и на коллектор, расположен-

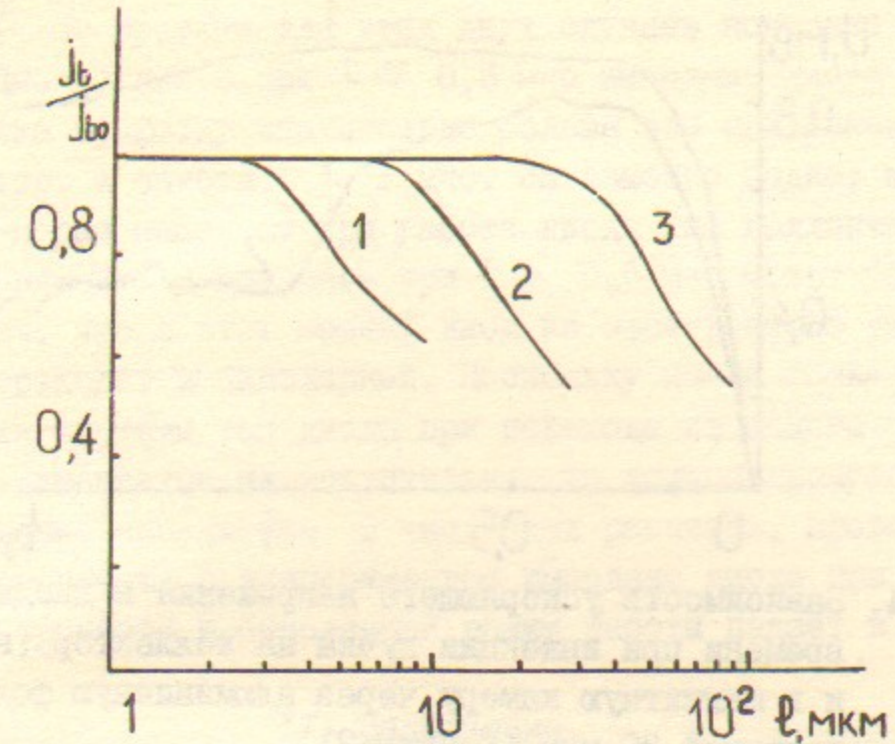


Рис.2. Зависимость J_b/J_{b0} от толщины анодной фольги для электронного диода. $R = 50$, $\gamma = 3$; 1 - $Z = 22$, 2 - $Z = 13$, 3 - $Z = 6$.

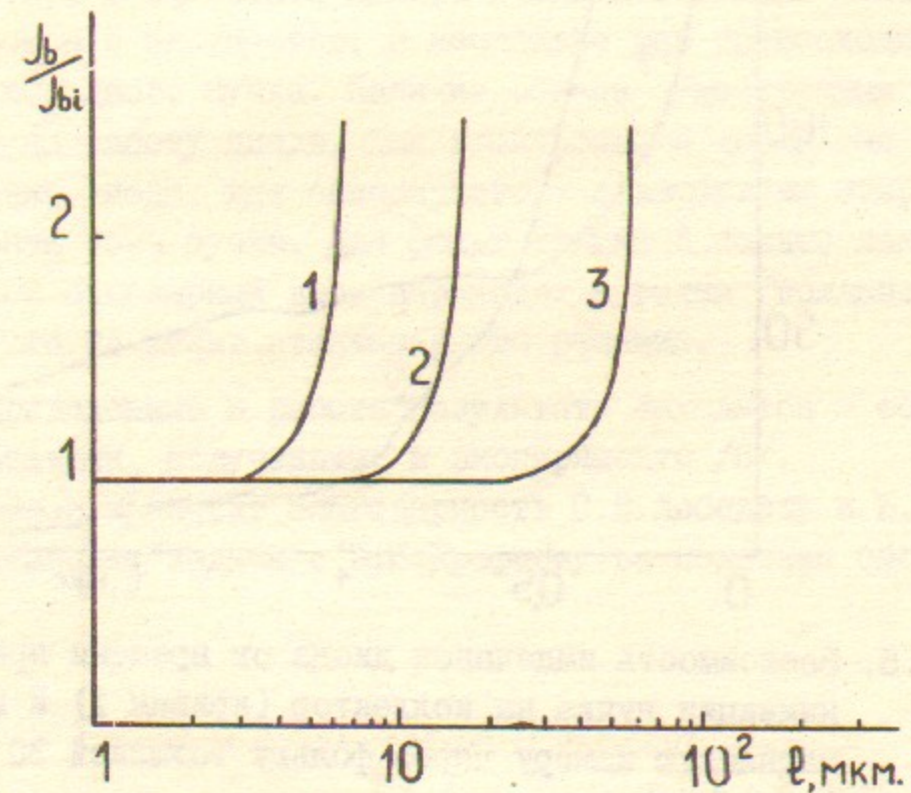


Рис.3. Зависимость J_b/J_{bi} от толщины анодной фольги для биполярного диода. $R = 50$; $\gamma = 3$; 1 - $Z = 22$, 2 - $Z = 13$, 3 - $Z = 6$.

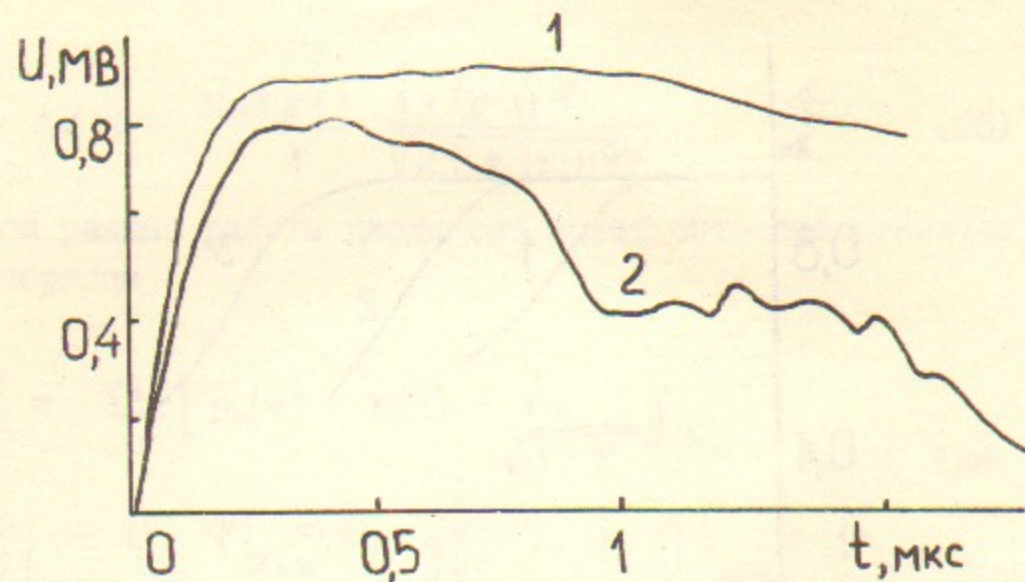


Рис.4. Зависимость ускоряющего напряжения в диоде от времени при инъекции пучка на коллектор (кривая 1) и в магнитную камеру через алюминиевую фольгу толщиной 30 мкм (кривая 2).

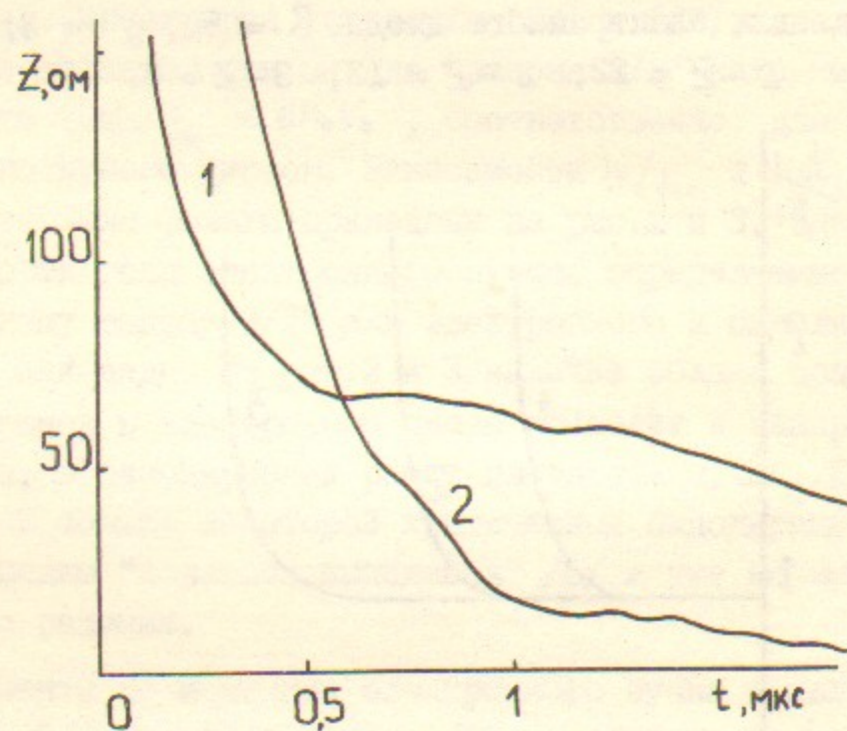


Рис.5. Зависимость импеданса диода от времени при инъекции пучка на коллектор (кривая 1) и в магнитную камеру через фольгу толщиной 30 мкм (кривая 2).

ный сразу же за анодной фольгой. Зависимости импеданса диода $Z = \frac{U}{I}$ от времени для этих двух случаев показаны на рис.5. Как видно из рис.6 при $t \leq 0,5$ мкс импеданс диода при инъекции пучка в пробку значительно больше чем при инъекции на коллектор, а спустя $t \geq 1$ мкс. он заметно падает и становится в 3-5 раз ниже чем при работе диода "на коллектор". Падение напряжения в два раза при $t \approx 0,5$ мкс может быть объяснено тем, что в этот момент диод из электронного режима работы переходит в биполярный. Поскольку из-за большой индуктивности системы ток диода при переходе из одного режима в другой изменяется не значительно, то должно происходить резкое падение напряжения. В численных расчетах, проведенных с целью сравнения с экспериментом импеданс диода при переходе из электронного в биполярный режим работы падает в ~ 3 раза.

IV. Заключение

В работе рассмотрены особенности работы диода при инъекции РЭП в сильную магнитную пробку. Показано, что при $R\theta^2 \geq 0,2-0,3$ в магнитной камере возникает облако осциллирующих электронов с плотностью, в несколько раз превосходящей плотность исходного пучка. Наличие облака существенно образом влияет на работу диода. Для электронного диода оно приводит к запираанию диода, для биполярного -- к заметному подрастанию плотности тока пучка. Для фольг толщиной больше некоторой критической биполярный диод переходит к режим "коллапса импеданса" и уже не имеет стационарного решения.

Приведенные в работе результаты находятся в согласии с результатами, полученными в эксперименте /6/.

Автор приносит благодарность С.В.Лебедеву и Б.А.Князеву за постановку задачи и В.И.Ерофееву за полезные обсуждения.

Литература

1. Д.Д.Рютов. Вопросы атомной науки и техники. Сер. Термоядерный синтез, вып. I-2, с.96-112, 1978.
2. С.Г.Воропаев и др. в кн.: Доклады третьей Всесоюзной конференции по инжекторным проблемам термоядерных реакторов. Ленинград - 1984, с.298.
3. С.Г.Воропаев и др. в кн.: У Всесоюзный симпоз. по высоко-точной электронике. Томск, 1984, ч. I, с.181.
4. Д.Д.Рютов, Г.В.Ступаков. Физика плазмы, т.2. 566, 1976.
5. Г.В.Ступаков, Е.М.Сырессин. Физика плазмы, т.1, 81, 1986.
6. С.Г.Воропаев и др. Препринт ИЯФ СО АН СССР, 86- , Новосибирск, 1986.
7. BenDaniel D.J., Allis W.P., J. Nucl. Energy, Part C, 4, 31, 1962.
8. В.П.Пастухов в кн.: Вопросы теории плазмы. 13. Энергоатомиздат, 1984, стр.160.
9. Е.Титчмарш. Введение в теорию интегралов Фурье, Гостехиздат, 1948.
10. Б.Н.Брейзман, Д.Д.Рютов, Г.В.Ступаков. Известия ВУЗов, СССР, сер. Физика, 10, 7, 1979.

Е.М.Сырессин

ВЛИЯНИЕ ОСЦИЛЛИРУЮЩИХ ЭЛЕКТРОНОВ НА РАБОТУ
ДИОДА ПРИ ИНЖЕКЦИИ РЭП В СИЛЬНУЮ МАГНИТНУЮ
ПРОБКУ

Препринт
№ 86-88

Работа поступила - 30 января 1986 г.

Ответственный за выпуск - С.Г.Попов
Подписано к печати 5.06.1986 г. МН 11748
Формат бумаги 60x90 1/16 Усл.1,1 печ.л., 0,9 учетно-изд.л.
Тираж 220 экз. Бесплатно. Заказ № 88.

Ротапринт ИЯФ СО АН СССР, г.Новосибирск, 90